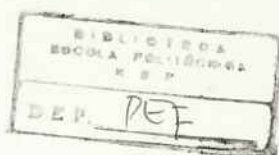


29 JUL 1988

Serviço de Bibliotecas  
Biblioteca de Engenharia Civil



Escola Politécnica - EPBC



31200053653

BT/PEF-8805

ANÁLISE DAS CASCAS CILÍNDRICAS EM  
REGIME ELASTOPLÁSTICO PELO  
MÉTODO DOS ELEMENTOS FINITOS

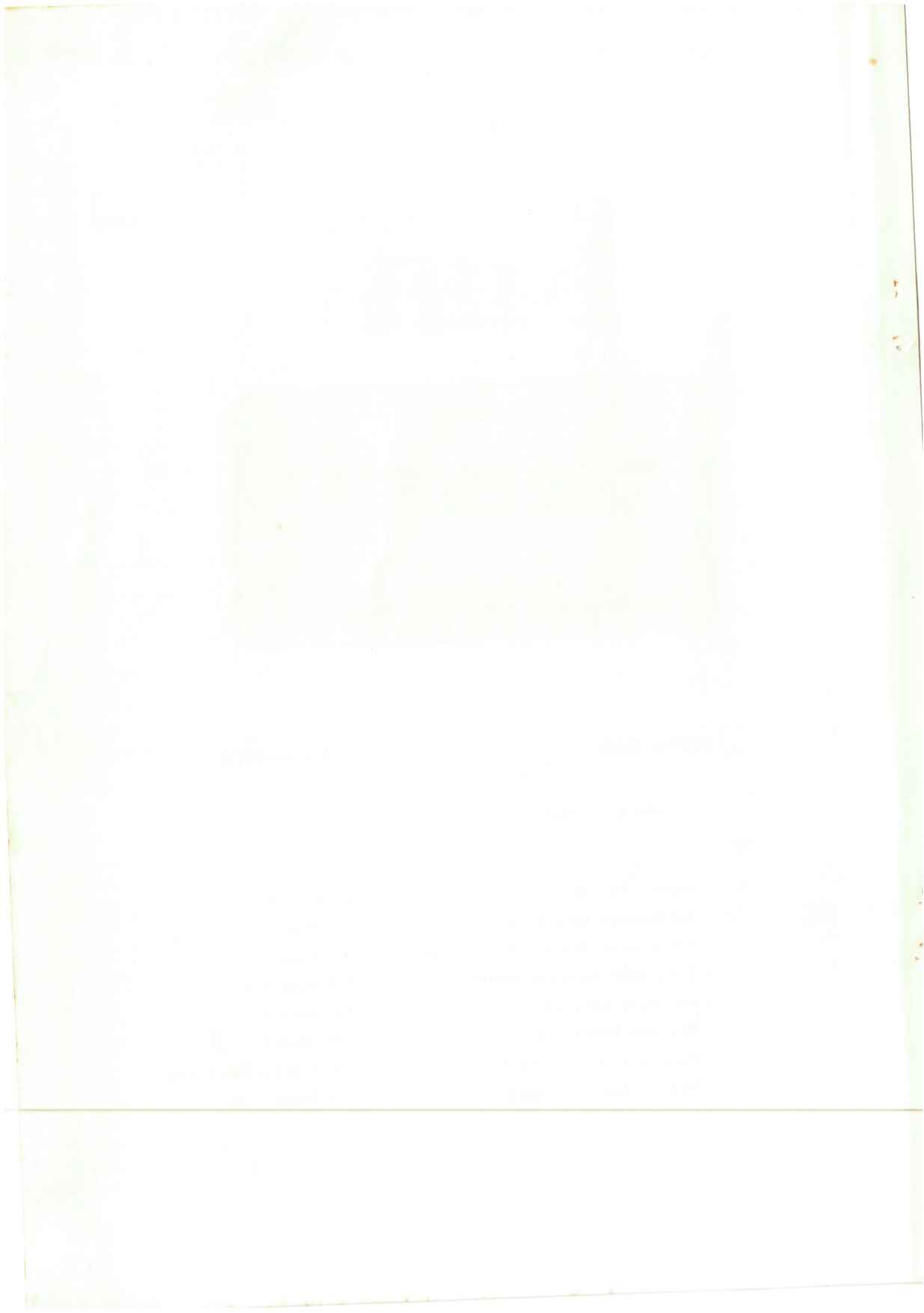
Luiz Antonio Cortese Diogo  
Professor Assistente Doutor  
(recebido em 10/05/88)

EDITOR CHEFE

C.E.N.Mazzilli

COMISSÃO EDITORIAL

- |                                     |                       |
|-------------------------------------|-----------------------|
| - Engenharia de Solos               | W.Hachich             |
| - Estruturas de Concreto            | P.B.Fusco             |
| - Estruturas Metálicas e de Madeira | P.B.Fusco             |
| - Interação Solo-Estrutura          | C.E.M.Maffei          |
| - Mecânica Aplicada                 | D.Zagottis            |
| - Métodos Numéricos                 | J.C. André            |
| - Pontes e Grandes Estruturas       | J.C.Figueiredo Ferraz |
| - Teoria das Estruturas             | V.M.Souza Lima        |



## INTRODUÇÃO

Apresenta-se, neste trabalho, a sequência de operações que permitem a análise de cascas cilíndricas pelo método dos elementos finitos, quando se consideram deformações pequenas, mas que conduzem à plastificação do material. Admite-se, porém, que seja válida a adoção de relações deformações-deslocamentos lineares.

Os casos de plasticidade com encruamento podem ser analisados com uma formulação análoga à que aqui se desenvolve.

### 1. Aplicação do método dos elementos finitos

Considere-se a casca cilíndrica da fig. (1.1), discretizada em um número finito de elementos planos. Em cada vértice  $i$  de um determinado elemento, o vetor deslocamento é caracterizado, no sistema global  $x, y, z$ , pelas componentes  $u_i, v_i, w_i$  e o vetor rotação pelas componentes  $\theta_{xi}, \theta_{yi}, \theta_{zi}$ , enquanto que, no sistema local  $x', y', z'$ , o vetor deslocamento é caracterizado pelas componentes  $u'_i, v'_i, w'_i$  e o vetor rotação pelas componentes  $\theta'_{xi}, \theta'_{yi}, \theta'_{zi}$ , sendo válidas as seguintes relações:

$$\begin{bmatrix} u'_i \\ v'_i \\ w'_i \end{bmatrix} = \begin{bmatrix} \cos\alpha_e & \operatorname{sen}\alpha_e & 0 \\ -\operatorname{sen}\alpha_e & \cos\alpha_e & 0 \\ 0 & 0 & 1 \end{bmatrix} \begin{bmatrix} u_i \\ v_i \\ w_i \end{bmatrix} = t'_e \begin{bmatrix} u_i \\ v_i \\ w_i \end{bmatrix}$$

e



$$\begin{bmatrix} \theta'_{xi} \\ \theta'_{yi} \\ \theta'_{zi} \end{bmatrix} = \begin{bmatrix} \cos\alpha_e & \operatorname{sen}\alpha_e & 0 \\ -\operatorname{sen}\alpha_e & \cos\alpha_e & 0 \\ 0 & 0 & 1 \end{bmatrix} \begin{bmatrix} \theta_{xi} \\ \theta_{yi} \\ \theta_{zi} \end{bmatrix} = \underline{T}'_e \begin{bmatrix} \theta_{xi} \\ \theta_{yi} \\ \theta_{zi} \end{bmatrix} \quad (1.1)$$

de modo que:

$$\underline{a}'_e = \underline{T}'_e \underline{a}_e \quad (1.2)$$

onde

$$\underline{a}'^T_{ei} = [u'_i \ v'_i \ w'_i \ \theta'_{xi} \ \theta'_{yi} \ \theta'_{zi}]$$

$$\underline{a}_{ei}^T = [u_i \ v_i \ w_i \ \theta_{xi} \ \theta_{yi} \ \theta_{zi}]$$

e

$$\underline{T}'_e = \begin{bmatrix} \underline{t}'_e & 0 & \dots & 0 \\ 0 & \underline{t}'_e & \dots & 0 \\ \vdots & \vdots & & \vdots \\ 0 & 0 & \dots & \underline{t}'_e \end{bmatrix} \quad (1.3)$$



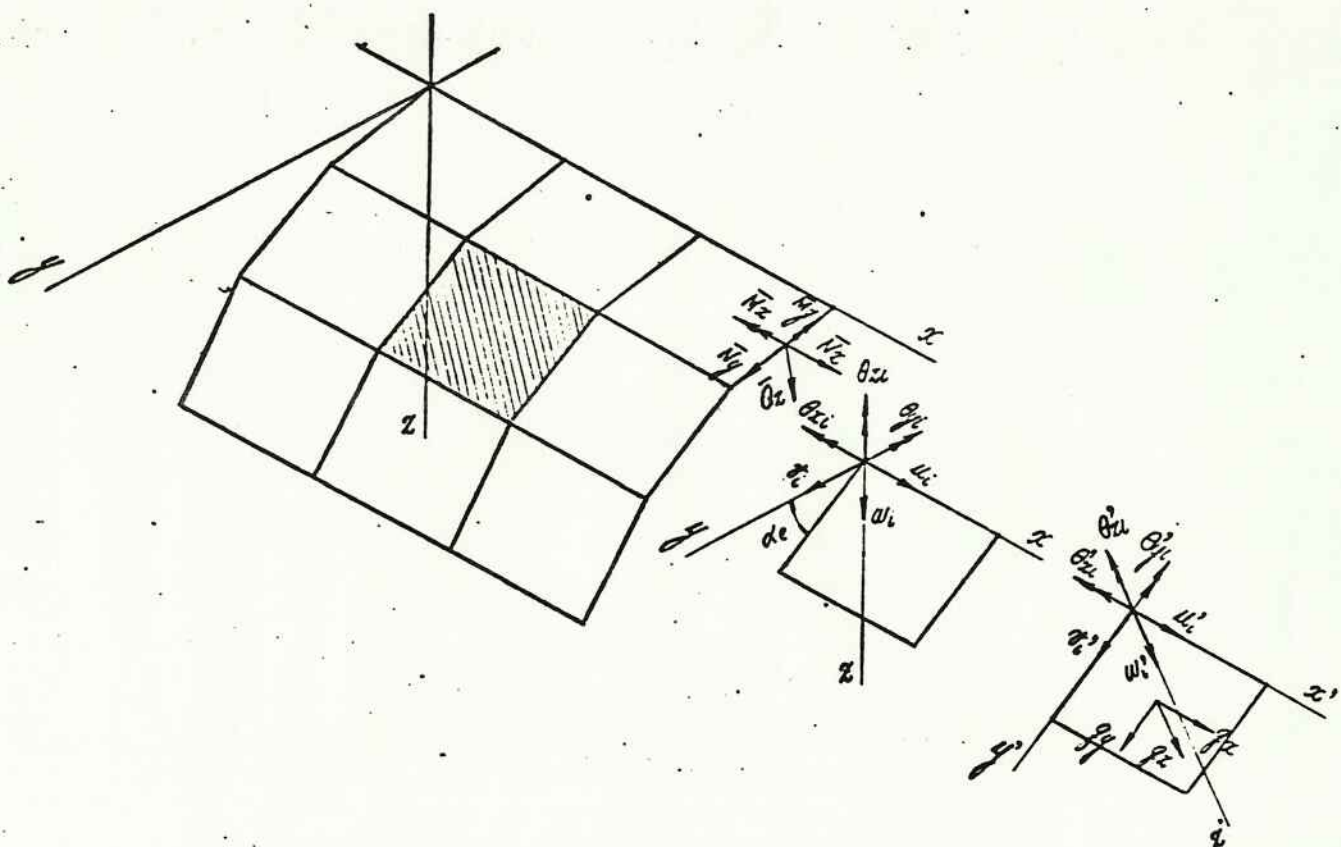


Figura (1.1)

Os deslocamentos nodais  $\underline{a}_e$  relacionam-se ao conjunto dos deslocamentos nodais  $\underline{a}$  da casca, da seguinte maneira:

$$\underline{a}_e = T_e'' \underline{a} \quad (1.4)$$

de forma que, considerando a equação (1.2), tem-se:

$$\underline{a}'_e = T_e' T_e'' \underline{a} = T_e \underline{a}_e \quad (1.5)$$

No sistema local, o deslocamento de um ponto P é caracterizado, de acordo com a teoria clássica, pelas componentes:

$$u' = u'_0 - \frac{\partial w'_0}{\partial x'} z' \quad v' = v'_0 - \frac{\partial w'_0}{\partial y'} z' \quad w' = w'_0 \quad (1.6)$$



onde  $u'_0$ ,  $v'_0$ ,  $w'_0$  são as componentes segundo os eixos  $x'$ ,  $y'$ ,  $z'$  do deslocamento do ponto  $P_0$ , projeção de  $P$  na superfície média, dadas, em função dos deslocamentos nodais no sistema local, por meio de funções de interpolação, ou seja:

$$u'_0(x', y') = \sum \phi_i(x', y') u'_i$$

$$v'_0(x', y') = \sum \phi_i(x', y') v'_i$$

$$w'_0(x', y') = \sum [\psi_i(x', y') w'_i + \xi_i(x', y') \theta'_{xi} + \eta_i(x', y') \theta'_{yi}] \quad (1.7)$$

com

$$\theta'_{xi} = \left( -\frac{\partial w'_0}{\partial y'} \right)_i \quad \text{e} \quad \theta'_{yi} = \left( \frac{\partial w'_0}{\partial x'} \right)_i \quad (1.8)$$

Em notação matricial, tem-se:

$$\begin{bmatrix} u'_0(x', y') \\ v'_0(x', y') \end{bmatrix} = \sum N_{ci} \underline{a}'_{cei} = \underline{N}_c \underline{a}'_{ce} \quad (1.9)$$

onde

$$\underline{N}_{ci} = \begin{bmatrix} \phi_i & 0 \\ 0 & \phi_i \end{bmatrix} \quad \text{e} \quad \underline{a}'_{cei} = \begin{bmatrix} u'_i \\ v'_i \end{bmatrix} \quad (1.10)$$

$$w'_0(x', y') = \sum N_{pi} \underline{a}'_{pei} = \underline{N}_p \underline{a}'_{pe} \quad (1.11)$$

onde

$$\underline{N}_{pi} = \begin{bmatrix} \psi_i & \xi_i & \eta_i \end{bmatrix} \quad \text{e} \quad \underline{a}'_{pei} = \begin{bmatrix} w'_i \\ \theta'_{xi} \\ \theta'_{yi} \end{bmatrix} \quad (1.12)$$



de modo que:

$$\underline{u} = \begin{bmatrix} u'_0(x', y') \\ v'_0(x', y') \\ w'_0(x', y') \end{bmatrix} = \begin{bmatrix} N_c & 0 \\ 0 & N_p \end{bmatrix} \begin{bmatrix} a'_{ce} \\ a'_{pe} \end{bmatrix} \quad (1.13)$$

ou, alternativamente:

$$\underline{u} = \underline{N} \underline{a}'_e = \underline{N} \underline{T}_e \underline{a} \quad (1.14)$$

onde

$$\underline{N}_i = \begin{bmatrix} \phi_i & 0 & 0 & 0 & 0 & 0 \\ 0 & \phi_i & 0 & 0 & 0 & 0 \\ 0 & 0 & \psi_i & \xi_i & \eta_i & 0 \end{bmatrix} \quad (1.15)$$

O campo de deformações é dado, considerando sucessivamente as equações (1.6), (1.9) e (1.11), por:

$$\underline{\epsilon} = \begin{bmatrix} \frac{\partial u'}{\partial x'} \\ \frac{\partial v'}{\partial y'} \\ \frac{\partial u'}{\partial y'} + \frac{\partial v'}{\partial x'} \end{bmatrix} = \begin{bmatrix} \frac{\partial u'_0}{\partial x'} \\ \frac{\partial v'_0}{\partial y'} \\ \frac{\partial u'_0}{\partial y'} + \frac{\partial v'_0}{\partial x'} \end{bmatrix} + z' \begin{bmatrix} -\frac{\partial^2 w'_0}{\partial x'^2} \\ -\frac{\partial^2 w'_0}{\partial y'^2} \\ -\frac{2\partial^2 w'_0}{\partial x' \partial y'} \end{bmatrix}$$

$$= \begin{bmatrix} \frac{\partial}{\partial x'} & 0 \\ 0 & \frac{\partial}{\partial y'} \\ \frac{\partial}{\partial y'} & \frac{\partial}{\partial x'} \end{bmatrix} \begin{bmatrix} u'_0 \\ v'_0 \end{bmatrix} + z' \begin{bmatrix} -\frac{\partial^2}{\partial x'^2} \\ -\frac{\partial^2}{\partial y'^2} \\ -2 \frac{\partial^2}{\partial x' \partial y'} \end{bmatrix} w'_0 = L_c N_c a'_{ce} + z' L_p N_p a'_{pe} =$$



$$= \begin{bmatrix} \underline{B}_c & \underline{B}_p \end{bmatrix} \begin{bmatrix} \underline{a}'_{ce} \\ \underline{a}'_{pe} \end{bmatrix} \quad (1.16)$$

onde

$$\underline{B}_c = \underline{L}_c \underline{N}_c \quad \text{com} \quad \underline{B}_{ci} = \begin{bmatrix} \frac{\partial \phi_i}{\partial x'} & 0 \\ 0 & \frac{\partial \phi_i}{\partial y'} \\ \frac{\partial \phi_i}{\partial y'} & \frac{\partial \phi_i}{\partial x'} \end{bmatrix} \quad (1.17)$$

e

$$\underline{B}_p = z' \underline{L}_p \underline{N}_p \quad \text{com} \quad \underline{B}_{pi} = z' \begin{bmatrix} -\frac{\partial^2 \psi_i}{\partial x'^2} & -\frac{\partial^2 \xi_i}{\partial x'^2} & -\frac{\partial^2 \eta_i}{\partial x'^2} \\ -\frac{\partial^2 \psi_i}{\partial y'^2} & -\frac{\partial^2 \xi_i}{\partial y'^2} & -\frac{\partial^2 \xi_i}{\partial y'^2} \\ -\frac{2\partial^2 \psi_i}{\partial x' \partial y'} & -\frac{2\partial^2 \xi_i}{\partial x' \partial y'} & -\frac{2\partial^2 \xi_i}{\partial x' \partial y'} \end{bmatrix} \quad (1.18)$$

ou, alternativamente:

$$\underline{\epsilon} = \underline{B} \underline{a}'_e = \underline{B} \underline{T}_e \underline{a} \quad (1.19)$$

onde

$$\underline{B}_i = \begin{bmatrix} \underline{B}_{ci} & \underline{B}_{pi} & 0 \end{bmatrix} \quad (1.20)$$



A uma variação  $\delta u$  corresponde uma variação  $\delta \varepsilon$ , de modo que o trabalho virtual dos esforços externos é dado por:

$$\delta \tau_e = \sum \int_{S_e} \underline{\delta u}^T \underline{f} h dS + \sum \int_{S_e} \underline{\delta u}_s^T \underline{s} h ds \quad (1.21)$$

onde, de acordo com a fig. (1.1),

$$\underline{u} = \begin{bmatrix} u'_0(x', y') \\ v'_0(x', y') \\ w'_0(x', y') \end{bmatrix} = \underline{N} \underline{T}_e \underline{a} \quad \underline{u}_s = \begin{bmatrix} u'_0(x', y') \\ v'_0(x', y') \\ w'_0(x', y') \\ \theta_x'(x', y') \\ \theta_y'(x', y') \end{bmatrix} = \underline{N}_s \underline{a}'_e = \underline{N}_s \underline{T}_e \underline{a}$$

$$\underline{f} = \begin{bmatrix} q_x(x', y') \\ q_y(x', y') \\ q_z(x', y') \end{bmatrix} \quad \underline{s} = \begin{bmatrix} \bar{N}_x(x', y') \\ \bar{N}_y(x', y') \\ \bar{Q}_z(x', y') \\ \bar{M}_x(x', y') \\ \bar{M}_y(x', y') \end{bmatrix} \quad (1.22)$$

enquanto que o trabalho virtual dos esforços internos é dado por:

$$\delta \tau_i = \sum \int_{V_e} \underline{\delta \varepsilon}^T \underline{\sigma} dV \quad (1.23)$$

onde

$$\underline{\sigma} = \begin{bmatrix} \sigma_x(x', y') \\ \sigma_y(x', y') \\ \tau_{xy}(x', y') \end{bmatrix} \quad (1.24)$$



As componentes  $\sigma_x$ ,  $\sigma_y$ ,  $\tau_{xy}$ , correspondem os esforços solicitantes:

$$\begin{aligned} N_x &= \int_{-h/2}^{h/2} \sigma_x dz & N_y &= \int_{-h/2}^{h/2} \sigma_y dz & N_{xy} &= \int_{-h/2}^{h/2} \tau_{xy} dz \\ &&&&&& (1.25) \end{aligned}$$

$$\begin{aligned} M_x &= \int_{-h/2}^{h/2} \sigma_x z dz & M_y &= \int_{-h/2}^{h/2} \sigma_y z dz & M_{xy} &= - \int_{-h/2}^{h/2} \tau_{xy} z dz \end{aligned}$$

Considerando, na situação de equilíbrio, a igualdade dos trabalhos virtuais externo e interno, pode-se escrever:

$$\sum \int_{V_e} \delta \underline{\epsilon}^T \underline{\sigma} dV - \left[ \sum \int_{S_e} \delta \underline{u}^T \underline{f} h dS + \sum \int_{S_e} \delta \underline{u}_s^T \underline{s} h ds \right] = 0 \quad (1.26)$$

Considerando, na expressão acima, as equações (1.19) e (1.22), obtém-se:

$$\begin{aligned} \sum \int_{V_e} \delta \underline{a}^T \underline{T}_e^T \underline{B}^T \underline{\sigma} dV - \left[ \sum \int_{S_e} \delta \underline{a}^T \underline{T}_e^T \underline{N}^T \underline{f} h dS + \right. \\ \left. + \sum \int_{S_e} \delta \underline{a}^T \underline{T}_e^T \underline{N}_s^T \underline{s} h ds \right] = 0 \quad (1.27) \end{aligned}$$

ou seja:

$$\delta \underline{a}^T \left[ \sum \underline{T}_e^T \int_{V_e} \underline{B}^T \underline{\sigma} dV - \left[ \sum \underline{T}_e^T \int_{S_e} \underline{N}^T \underline{f} h dS + \right. \right]$$



$$+ \sum \underline{T}_e^T \left[ \int_{S_e} \underline{N}_s^T \underline{s} h ds \right] = \delta \underline{a}^T \underline{\psi}(\underline{a}) = 0 \quad (1.28)$$

onde

$$\begin{aligned} \underline{\psi}(\underline{a}) &= \sum \underline{T}_e^T \left[ \int_{V_e} \underline{B}^T \underline{\sigma} dv - \left[ \sum \underline{T}_e^T \int_{S_e} \underline{N}_s^T \underline{f} h ds + \right. \right. \\ &\quad \left. \left. + \sum \underline{T}_e^T \int_{S_e} \underline{N}_s^T \underline{s} h ds \right] \right] \\ &= \sum \underline{T}_e^T \int_{V_e} \underline{B}^T \underline{\sigma} dv - \underline{P} \end{aligned} \quad (1.29)$$

Havendo esforços externos concentrados nos nós, deve-se adicionar-los aos termos entre colchetes da expressão acima.

A solução das equações de equilíbrio (1.29) é obtida com o procedimento descrito na referência R.3. Deve-se notar, entretanto, que nos nós situados em bordas livres ocorre uma hipostaticidade local no sentido de ser impossível a absorção de eventual momento externo, caracterizado por vetor normal à casca. Adiciona-se, então, uma mola resistente à rotação, que de resto não é solicitada. A mesma providência deve ser adotada quando todos os elementos convergentes em um determinado nó são complanares.



## 2. Exemplo

No exemplo que segue, a discretização da estrutura é feita com elementos retangulares, descritos na referência R1, nos quais, considerando, de acordo com a fig. (2.1), as seguintes transformações:

$$r = \frac{x' - x_c}{a} \quad s = \frac{y' - y_c}{b} \quad t = \frac{z' - z_c}{h/2} \quad (2.1)$$

as funções de interpolação, correspondentes ao nó i, são dadas por:

$$\begin{aligned}\phi_i(r,s) &= \frac{1}{4} (r_0 + 1)(s_0 + 1) \\ \psi_i(r,s) &= \frac{1}{8} (r_0 + 1)(s_0 + 1)(2 + r_0 + s_0 - r^2 - s^2) \\ \xi_i(r,s) &= \frac{1}{8} b s_i (r_0 + 1)(s_0 + 1)^2 (s_0 + 1) \\ \eta_i(r,s) &= \frac{1}{8} a r_i (r_0 + 1)^2 (r_0 - 1)(s_0 + 1)\end{aligned} \quad (2.2)$$

onde

$$r_0 = r r_i \quad e \quad s_0 = s s_i \quad (2.3)$$

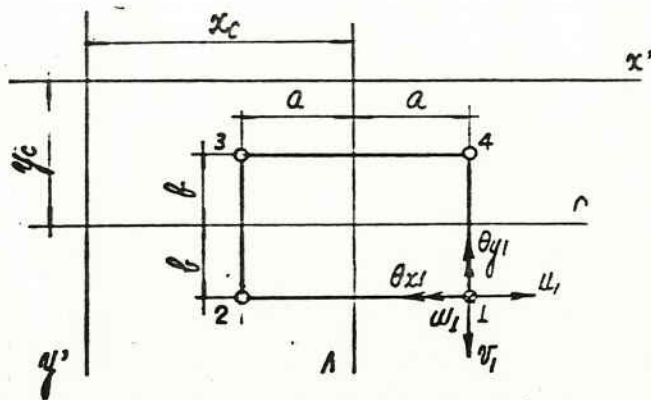


Figura (2.1)



Adota-se o critério de Von Mises, em que a função de plastificação é dada por:

$$F(\sigma_x, \sigma_y, \tau_{xy}) = \sigma_x^2 + \sigma_y^2 - \sigma_x \sigma_y + 3\tau_{xy}^2 - \sigma_e^2 \quad (2.4)$$

onde  $\sigma_e$  é a tensão de escoamento do material.

Com esses elementos, examina-se a casca cilíndrica da fig.(2.2) de material elasto-plástico, de módulo de elasticidade  $E = 2.100 \text{ tf/cm}^2$ , coeficiente de Poisson  $\nu = 0,30$  e tensão de escoamento  $\sigma_e = 2,4 \text{ tf/cm}^2$ , submetida à carga  $kq$ , segundo a direção  $z$ , onde  $q = 0,0030 \text{ tf/cm}^2$ .

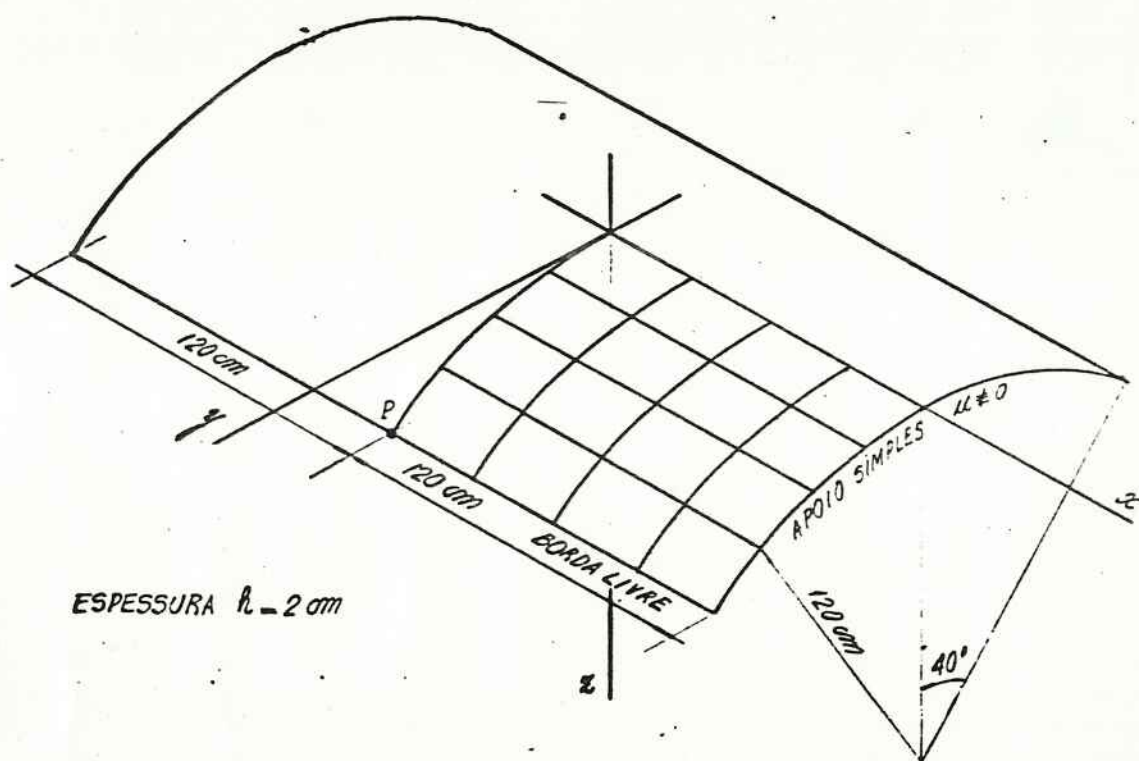
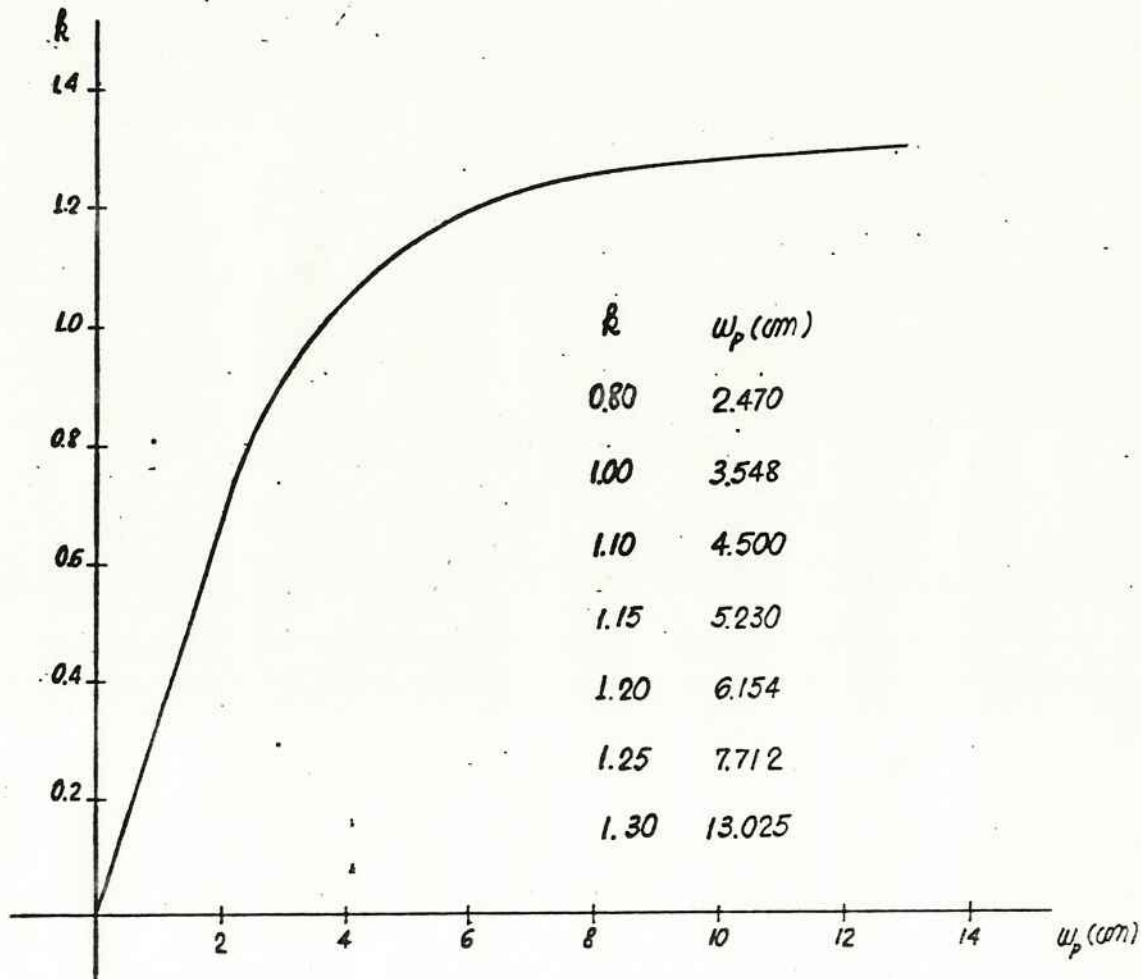


Figura (2.2)



DESLOCAMENTO VERTICAL DO PONTO P ( $w_p$ )



REFERÉNCIAS

ZIENKIEWICZ, O.C. "The finite element method", McGraw-Hill, 3rd ed., 1977

DIOGO, L.A.C. "Consideração da plastificação nas chapas", Escola Politécnica BT/PEF-8708, 1987

DIOGO, L.A.C. "Consideração da plastificação nas placas", Escola Politécnica BT/PEF-8709, 1987

